

MO 理論에 依한 反應性의 決定 (第14報). Diels-Alder

反應의 配向性에 미치는 酸觸媒의 効果

李益春 · 柳根培 · 全容求*

仁荷大學校 理科大學 化學科

*大田機械廠

(1979. 5. 8 接受)

Determinaton of Reactivities by MO Theory (XIV).

Effect of Acid Catalysis on Regioselectivity of Diels-Alder Reactions

Ikchoon Lee, Keun Bae Rhyu and Young Koo Jeon*

Department of Chemistry, Inha University, Inchon, Korea

*Daejeon Machine Development, Daejeon, Korea

(Received May 8, 1979)

要 約. 非對稱으로 置換된 diene 과 dienophile 間의 反應에서, 配向性에 미치는 산촉매의 효과를豫期하기 위해서 루이스酸과 錯物을 形成한 dienophile의 理論的모델에 FMO 理論을 적용하여 CNDO/2 方법으로 고찰하였다.

電子的性質이 類似한 치환기로 치환된 diene, dienophile의 반응(즉, 電子不足 diene 과 電子不足 dienophile의 반응)에서 일어나는 半極性 고리化반응을 제외한 주어진 대부분의 반응에 대해서, CNDO/2 方법이 실험적인 配向性과一致하는 좋은 結果를 주었다. 또한 二次軌道相互作用이 非對稱으로 치환된 diene 과 dienophile의 Diels-Alder 반응의 배향성에 중요한 역할을 했다는 사실을 보여주었다. Anh의 方법이 다른방법보다 수식적으로 간단할지라도, 非對稱전이상태를 강조한 Anh의 方법이 配向性 결정에 좋은 결과를 주었다.

ABSTRACT. In order to predict the effect of Lewis acid catalysis on the regioselectivity of the Diels-Alder reactions between unsymmetrically substituted dienes and dienophiles, the frontier orbital theory applied to the theoretical model of the Lewis acid complexed dienophile was studied by means of CNDO/2 MO.

In the majority of reactions, CNDO/2 calculations gave good results in accordance with experimental orientation. Also, it was shown that the secondary orbital interaction played an important role in the regioselectivity of the Diels-Alder reaction between unsymmetrically substituted dienes and dienophiles.

Although ANH's treatment is mathematically simpler than other methods, ANH's method which laid emphasis on dissymmetrical transition state gave good results on decision of regioselectivity.

序論

Diels-Alder 반응의 配向性은 diene 과 dienophile의 FMO (frontier molecular orbital) 間의 相互作用만을 고려해 줌으로 설명되어 왔으며, 고리화반응에서 2分子의 軌道相互作用을 수반하는 二次攝動에 기초를 두고 있다. 이들 理論으로부터 配向性을 예측하는데는 다음의 一般化를 이용해 왔다. (1) 전이상태의 安定性은 에너지分難가 가장작은 HOMO-LUMO相互作用으로부터 일어난다. (2) diene의 보다큰 一次軌道係數가 dienophile의 보다큰 一次軌道係數와 우선적으로 σ 結合을 形成한다. 同時 고리화반응의 반응성과 배향성을豫期하는데는 上의 FMO 理論이 좋은結果를 주었다는 여러연구가 있었으며^{1~5} 配向性에 미치는 酸觸媒의 效果^{4,6b}가 최근에 연구되어 왔다. Houk, Strozier^{6a}의 즉, 크기가 서로 다른 末端基子를 가지는 diene 과의 반응에 대해서는 配向性에 변화가 없거나 혹은 감소된다는, 提案은 실험결과와 일치 않는 모순을 가지고 있다. 그러나 二次軌道相互作用을 고려한다면 이와 같은 모순은 해결된다는 연구도 또한 있었다^{1a}. (3) dienophile의 二次軌道係數는 diene의 보다큰 二次軌道係數와 우선적으로相互作用하게 된다^{1a,11}. 따라서 上의 3 가지 一般化에서相互作用에 의해서 어느配向體가 더 유리하며, 또 이러한 일반화의 상대적인 중요성을 고려해주면 主配向體를 예측할 수 있게 된다. 物理的 측면으로 본 配向性은 반응물의 非對稱性으로부터 일어나며 이와 같은 非對稱性은 두 附加體가 非對稱性이 상태를 갖게하여 遠거리로부터 結合거리內로 접근할 때 하나의 σ 結合이 다른 σ 結合보다 신속하게 形成하도록 해준다. Anh⁷이 제안한 2中 心相互作用은 이러한 非對稱性을 돋보기를 통해서 보는 것 같이 확대시키는 방법으로서, 전이상태가 對稱이라 생각하여 配向性의 物理的 意義를 무시해버리는 Herndon¹²의 4中心상호작용보다 더 좋은 배양성을 주었다는 연구가 있었다.

본 연구에서는 Valenta⁸의 实驗적인 연구를 分子軌道論의 方法으로 고찰해보고 이밖의 여러

diene 및 dienophile의 반응에서 配向性에 미치는 酸촉매의 효과와 二次軌道相互作用의 역할을 고찰하며 FMO相互作用을 4 가지방법, 즉, Anh, Herndon, 과 4 개의 FMO 모두를 고려한 4 中心, 2 中心방법으로 계산하여 비교 검토하였다.

計 算

1. 좌표 및 CNDO/2 계산. CNDO/2 入力 data로서 전이상태幾何를 얻기위해 결합길이, 결합각, 二面角은 표준값¹⁰을 사용하였다.

2. FMO相互作用에너지의 계산⁹. A, B 2分子가 Fig. 1에서와 같이 반응할 때 일어나는 퍼텐셜에너지(poential energy)의 변화에 대해 FMO의 二次混合(second-order mixing)만을 고려한式을 사용하였다.

$$\Delta E_{\text{FMO}} = 2\nu^2 \left[\frac{(C_{A1H}C_{B1L} + C_{A2H}C_{B2L})^2}{|E_{AH} - E_{BL}|} + \frac{(C_{A1L}C_{B1H} + C_{A2L}C_{B2H})^2}{|E_{BH} - E_{AL}|} \right] \quad (1)$$

여기에서 ν : 각 반응위치에서 two interacting lobes의 共鳴積分; A, B: 반응분자 A, B; 1, 2: 반응位置; H, L: HOMO, LUMO

結果 및 考察

1. 置換基의 效果. Table 1에서 R_4 에 폐닐, 메틸, 시안기로 置換될 때 HOMO의 係數 C_1, C_4 는 거의 유사하지만 메톡시기로 치환될 경우엔 현저하게 계수 C_4 가 C_1 보다 컷음을 볼 수 있다. 그리고 모든경우에 C_2 가 C_3 보다 컷음을 알 수

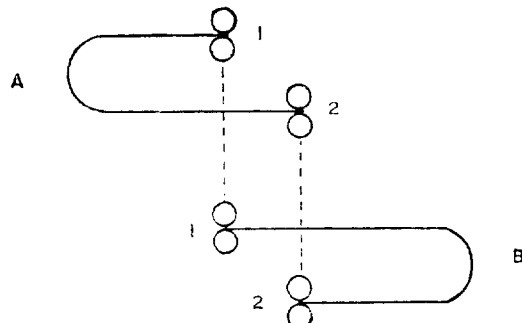


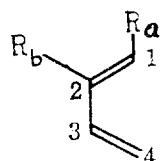
Fig. 1.

있다. 또한 R_b 에 페닐, 메틸, 염소, 시안치환기로 치환된 경우에는 이전과는 달리 C_1 이 C_4 보다 뛰어나게 크며, C_2 도 C_3 보다 큼을 볼 수 있다.

前者의 경우, 즉 1-substituted-1,3-butadiene 과 1-substituted dienophile 과의 반응에서 diene의 末端炭素가 거의 유사한 크기의 HOMO 계수를 가지기 때문에 *ortho* : *meta* 異性體의 比가 1:1이 될 것으로 생각될 수 있다. 그러나 실험에 의한 배향성은 *ortho* 配向體가 主生成物이 됨을 밝혔다¹¹. 그러나 dienophile의 계수 C_1 과 diene의 계수 C_2 간에 非結合性 2차 궤도相互作用(secondary orbital interaction: SOI)을 고려해 주면 *endo* 전이상태의 安定化가 매우 큰 *ortho* 配向體가 主生成物이 됨을 볼 수 있다. 마찬가지로 2-substituted diene 과 dienophile 간의 반응에서는 diene의 계수 C_2 와 dienophile의 C_2 간에 SOI를 형성하여 *endo* 전이상태의 安定化로 인한 *meta* 配向性을 줄 것으로 기대할 수 있지만 실험에 의한 配向性은 오히려 *para* 配向體가 主生成물이 됨을 보여주고 있다. 그러므로 末端係數의 크기가 매우 相異한 반응에서는 일차 궤도 상호작용(primary orbital interaction)이 SOI 보다 配向性의 決定에 더 중요한 역할을 하고 있음

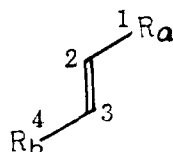
을 확인할 수 있었다. Table 2에서는 여덟 dienophile의 固有벡터값을 볼 수 있다. 에틸렌構造에 電子吸引치환기인 메틸에스테르, 알데히드기가 水素대신 치환될 경우 알켄骨格(alkene-moiety)의 계수 C_2 가 C_3 보다 크며 酸 촉매 하에서는 치환기의 카르보닐酸素와 촉매가 錯物을 形成하여 allyl-cation-like nature 을 증대시키게 되어 FMO의 궤도에너지를 낮추어주고 LUMO에 대해서는 계수를 더욱 分極시켜 주었다. 또한 HOMO에 대해서는 C=C의 계수에 正反對의 極性을 보여주었다¹¹. 이와는 달리 에틸렌構造에 두개의 電子吸引치환기가 水素대신 치환될 경우엔, 즉 R_a , R_b 에 메틸에스테르, 알데히드, 그리고 또 메틸에스테르, 메틸케톤기가 각각 치환될 때는 알켄骨格의 계수 C_2 , C_3 가 거의 유사한 크기를 갖게되며, 치환기 포르밀, 메틸케톤의 카르보닐炭素의 계수가 메틸에스테르의 경우보다 약간더크지만, 산촉매 하에서는 포르밀, 메틸케톤의 산소가 촉매와 錯物을 形成하여⁸ 알켄骨格의 계수분극을 크게 증대시키고 메틸에스테르의 카르보닐炭素의 계수를 감소시키는 반면 포르밀, 메틸케톤기의 카르보닐炭素의 계수를 상당히 증대시켰다. 또한 치환기의 相乘效果

Table 1. Eigenvectors of monosubstituted 1,3-butadienes.



R_a	R_b	HOMO					LUMO				
		C-1	C-2	C-3	C-4	Energy	C-1	C-2	C-3	C-4	Energy
C ₆ H ₅	H	-0.4153	-0.4337	0.2392	0.4159	-0.4183	0.4190	-0.4361	-0.2529	0.4088	0.0849
CH ₃	H	0.5220	0.4665	-0.3389	-0.5256	-0.4458	0.5613	-0.4338	-0.3930	0.5306	0.1219
OCH ₃	H	-0.4490	-0.4841	0.2918	0.4905	-0.4322	0.5820	-0.3968	-0.4272	0.5446	0.1294
CN	H	-0.5002	-0.4414	0.3180	0.4869	-0.4584	0.5017	-0.4907	-0.3158	0.4935	0.0807
H	C ₆ H ₅	-0.5595	-0.3467	0.2133	0.3415	-0.4363	0.5330	-0.3573	-0.2277	0.3534	0.0951
H	CH ₃	-0.6214	-0.4190	0.3391	0.4939	-0.4609	0.5569	-0.4271	-0.4110	0.5504	0.1232
H	CL	0.5439	0.3495	-0.2628	-0.3919	-0.4708	0.6077	-0.4295	-0.3365	0.4860	0.0918
H	CN	-0.6004	-0.4030	0.3237	0.4685	-0.4746	-0.6080	0.4301	0.3134	-0.4657	0.0900

Table 2. Eigenvectors of LUMO of mono- or di-substituted olefins.

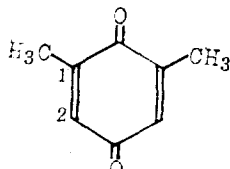


R _a	R _b	Uncatalyzed reaction					Catalyzed reaction				
		C-1	C-2	C-3	C-4	Energy	C-1	C-2	C-3	C-4	Energy
COOCH ₃	H	0.4404	0.4314	-0.6338		0.0917	0.6601	0.1790	-0.5899		-0.1985
COOCH ₃	CHO	0.2984	0.4853	-0.4714	-0.3361	0.0284	-0.1331	-0.5586	0.1665	0.6244	-0.2535
COOCH ₃	COOCH ₃	-0.3027	-0.4793	0.4753	0.3261	0.0347	0.1450	0.5457	-0.2293	-0.5869	-0.2312
COOCH ₃	CH ₃	0.4058	0.4260	-0.6236	-0.0688	0.0910	0.6409	0.1448	-0.5923	0.0175	-0.1779
CHO	H	-0.4594	-0.4048	0.6148		0.0903	0.6984	0.1131	-0.5857		-0.2387

(multiplicative effect)¹³로 인하여 궤도에너지에 加成效果 (additive effect)를 주었다. Table 3의 2-substituted quinone의 LUMO 계수는 거의 유사한 크기지만 촉매가 존재함으로서 치환기인 메틸기로부터 멀리 떨어져 있는 산소가 촉매와 錯物을 형성하기 때문에 알켄 골격의 계수를 크게 활성화 시켜주게 됨을 알 수 있었다.

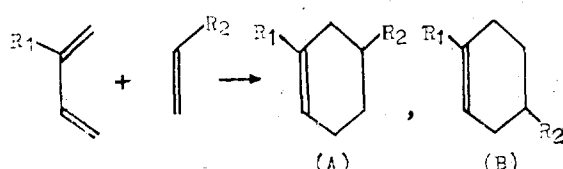
2. C-2-Substituted Diene 과 Dienophile 간의 반응. Table 5에서는 *para* : *meta*의 比가 촉매에 의해서 크게 증가됨을 알 수 있는데 이는 dienophile의 FMO 궤도에너지가 낮아지며, 알

Table 3. Eigenvectors of LUMO of di-substituted quinone.



Uncatalyzed reaction			Catalyzed reaction		
C-1	C-2	Energy	C-1	C-2	Energy
0.3299	-0.3291	0.0146	0.4022	-0.1607	-0.2292

Table 4. Reactions of C-2-monosubstituted dienes with monosubstituted dienophiles.



Substituents		Uncatalyzed reaction					Catalyzed reaction				
		4-Frontier orbitals		2-Frontier orbitals		SOI	Exp.	4-Frontier orbitals		2-Frontier orbitals	
R ₁	R ₂	4-C	2-C	Hern-don	Anh			4-C	2-C	Hern-don	Anh
CH ₃	COOCH ₃	B	B	B	B	A	B	B	B	B	B
CH ₃	CHO	B	B	B	B	A	B	B	B	B	B
C ₆ H ₅	COOCH ₃	B	B	B	B	A	B	B	B	B	B
Cl	COOCH ₃	B	B	B	B	A	B	B	B	B	B

체골격의 계수분극이 증가된다는 사실에 기인되고 있음을 보였다^{11,17}. 물론 이 경우에도 촉매로 인하여 SOI가 크게 증대됨을 볼 수 있었으나 이미 언급한 바와 같이 일차체도상호작용이 주로配向性을 결정해주고 있음을 볼 수 있다. Table 4에서는 4개의 FMO 모두를 고려해주는 4中心, 2中心방법과 2개의 FMO만을 고려하는 Herndon, Anh의 방법이 실험과 일치하는 배향성을 주고 있으나 SOI는 일치하지 않고 있다. diene의 끝단계수에서 非對稱性이 큰 正常電子要求(normal electron demand)반응에서는 diene HOMO-dienophile LUMO 상호작용이 安定化에너지에 보다큰 寄與를 하기때문에 상대적으로 diene LUMO-dienophile HOMO 상호작용은 무시될 수 있었다. 그러나 이같은 생각은 電子供與 치환기로 치환된 경우에서는 잘맞고 있었으나 電子吸引 치환기로 치환된 경우에서는 치환기의 효과로 인해서 LUMO의 궤도에너지가 낮아지기 때문에, diene LUMO-dienophile HOMO 상호작용도 配向性결정에 중요한 영향을 미치게 됨을 보여 주었다. 이같은 경우로서 대표적인例로는 2-chloro-1,3-butadiene에서 볼 수 있다. 그러나 이경우엔 diene LUMO-dienophile HOMO 상호작용도 또한 *para*配向性을 주게 되기 때문에 4방법 모두 실험에 잘맞는 配向性을 보여주었다.

3. C-1-Substituted diene과 dienophile 간의 반응. 이미 Table 1에서 본 바와 같이 피페리렌의 HOMO 계수는 크기가 유사하기 때문에 일차체도상호작용보다는 2차체도상호작용이 배향성의 결정에 보다 중요하고 피페리렌의 C₂ 계수와 아크릴산메틸의 카르보닐탄소사이에 非結合性상호작용을 갖게되어 *ortho* 배향성을 주었다. 피페리렌과 아크릴산메틸의 반응, 피페리렌과 트란스-메틸클로로네이트의 반응, 1-메톡시부타디엔과 아크릴레인의 반응등은 촉매가 존재함에 따라 *ortho* 배향성이 크게 증대됨을 Table 8에서 볼 수 있다. 이는 dienophile의 FMO 궤도에너지가 낮아지며, 알켄骨格의 活性화로 인한 분극의 증가, 그리고 2차체도상호작용의 증가로서 잘 설명되고 있음을 알 수 있었다. 그러나 *trans*-

4-oxobutenoate 및 2-pentene-4-one-1-oic acid methyl ester와 피페리렌의 반응에서는 앞서의 경우와는 달리 *meta*配向性을 주게되고 촉매하에서는 더욱 *meta*配向性이 증대되고 있었다. 이 때는 diene의 HOMO, dienophile의 LUMO의 끝단계수가 각각 서로 비슷하기 때문에 2차체도상호작용이 보다 중요한 역할을 하게됨을 알 수 있었다. Table 8에서 dienophile의 치환기 메틸에스테르과 포르밀, 메틸케톤기를 비교하면 前者보다는 後者の 카르보닐탄소가 피페리렌의 C₂에 2차체도상호작용을 갖게되어 前과는 달리 *meta*配向性을 주었으며 촉매하에서는 C₁²과 C₄²의비가 더욱 크게되어 한층 *meta*配向性을 증대시켜 주었다. 또한 피페리렌과 2,6-dimethyl-1,4-benzoquinone의 반응^{8,16}은 이미 언급한 바와 같이 1차체도상호작용보다는 2차체도상호작용이 더 중요했음을 알 수 있었다. 즉, 촉매가 없는 경우에는 치환기로부터 원거리에 위치한 카르보닐탄소보다는 가깝게 위치하고 있는 카르보닐탄소의 계수가 더커서 活性화되기 때문에, 이 카르보닐탄소가 diene의 C₂와 2차체도상호작용을 갖게되어 2,8,9-trimethyl naphthoquinone을 주게되나 촉매하에서는 치환기로부터 멀리 위치한 산소에 촉매가 錯物을 이루기 때문에 촉매가 없는 경우와는 정반대의 탄소계수를 갖게되어, 배향성이 反轉되고 2,5,9-trimethyl naphthoquinone을 주었다. 이상의 여러반응을 4방법으로 계산한 결과는 Table 6, 7에 주어졌다. Table 6에서 Herndon, Anh의 방법은 실험에 부합되는 配向性을 보이었으나 4中心, 2center 방법은 맞지 않고 있음을 보이고 있다. (다만, 1-methoxy butadiene과 아크릴레인의 반응은例外). 피페리렌과 아크릴산메틸의 반응에서는 4center, 2center방법이 맞지않는데 이는 diene의 HOMO 계수가 유사한크기를 가지기 때문에 配向體간에 安定化에너지에 큰 차이를 보이지 않았으며, diene의 LUMO 계수가 HOMO와는 반대로 분극되어 있어서 diene LUMO-dienophile HOMO 상호작용으로 인한 *meta* 배향성의 영향이 매우 컷음에 기인되고 있었다. 결국 diene LUMO-dienophile HOMO의 영향이 상대적으로

Table 5. Regioisomer ratios of the Diels-Alder reactions between unsymmetrically substituted dienes and dienophiles.

R ₁	R ₂	Uncatalyzed reaction			Catalyzed-reaction			Ref.
		para: meta	Dienophile C ₂ —C ₃	Dienophile SOI (C ²)	PARA: META	Dienophile C ₃ —C ₂	Dienophile SOI (C ²)	
Isoprene	Methyl acrylate	70 : 30	0.22	0.19	95 : 05	0.32	0.44	14
Isoprene	Acrolein	59 : 41	0.21	0.21	96 : 04	0.33	0.49	15
2-Phenyl butadiene	Methyl acrylate	80 : 20	0.22	0.19	97 : 03	0.32	0.44	14
2-Chloro butadiene	Methyl acrylate	87 : 13	0.22	0.19	98 : 02	0.32	0.44	14

Table 6. Reactions of C-1 monosubstituted.

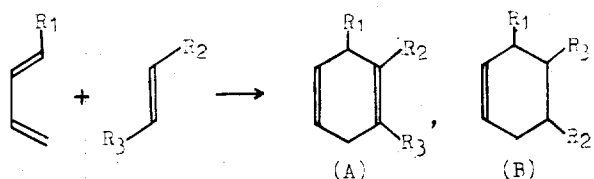
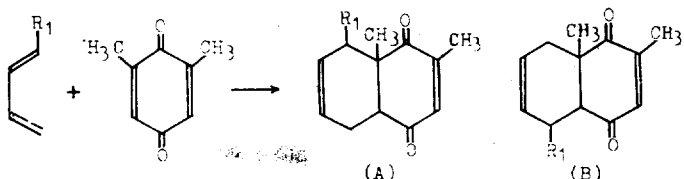
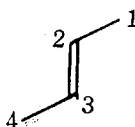


Table 7. Reaction of C-1-monosubstituted diene and 2,6-Dimethyl-1,4-benzoquinone.



R ₁	Uncatalyzed reaction						Catalyzed reaction					
	4-Frontier orbitals		2-Frontier orbitals		SOI	Exp.	4-Frontier orbitals		2-Frontier orbitals		SOI	Exp.
	4-C	2-C	Herndon	Anh			4-C	2-C	Herndon	Anh		
CH ₃	B	B	B	B	A	A	B	A	B	B	B	B

Table 8. Regiosomer ratios of the Diels-Alder reaction between unsymmetrically substituted dienes and dienophiles.



Diene	Dienophile	Uncatalyzed reaction				Catalyzed reaction			
		ortho: meta	Dieno- phile C ₁ -C ₂	Dienophile SOI		ortho: meta	Dieno- phile C ₁ -C ₂	Dienophile SOI	
				C ₁ [‡]	C ₄ [‡]			C ₁ [‡]	C ₄ [‡]
Piperylene	Methyl acrylate	90 : 10	0.22	0.1940		98 : 02	0.32	0.4357	
Piperylene	trans-Methyl crotonate	ortho	0.21	0.1647	0.0047	ortho	0.33	0.4108	0.0003
Piperylene	trans-4-Oxobutenoate	40 : 60	0.01	0.0891	0.1130	meta	0.28	0.0177	0.3899
Piperylene	trans-2-pentene-4-one -1-oic acid methyl ester	meta	0.004	0.0916	0.1063	meta	0.25	0.0210	0.3445
1-Methoxy butadiene	Acrolein	ortho	0.21	0.2110		ortho	0.33	0.4878	
Piperylene	2, 6-Dimethyl 1, 4-benzoquinone	2, 8, 9- TN	0.01	0.0821	0.0669	2, 5, 9- TN	0.14	0.0401	0.2060

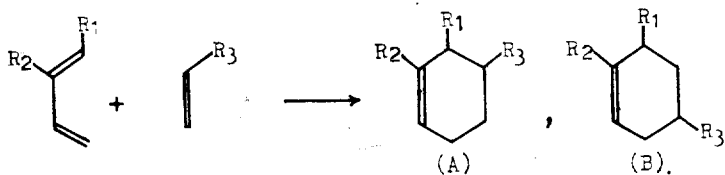
쳤었고 촉매하에서는 diene LUMO-dienophile HOMO의 에너지分離가 커져 安定化에너지는 상당히 감소된 반면 diene HOMO-dienophile LUMO 상호작용의 安定化에너지는 크게 증가됨으로 4 방법 모두 촉매존재時에 배향성이 실험사실에 일치하고 있음을 볼 수 있다. 피페리렌과 trans-methyl crotonate 간의 반응에서도 2 中心방법이 맞지않고 있는데 이는 앞서의 경우와 더불어 dienophile의 FMO 계수가 반대로 분극됨으로서 diene HOMO-dienophile LUMO 상호작용에서 우선적으로 형성되는 末端係數雙과 diene LUMO-dienophile HOMO相互作用에서의 末端係數雙이 서로 다르기 때문이다. 피페리렌과 trans-4-oxobutenoate, 2-pentene-4-one-1-oic acid methyl ester의 반응에서도 diene HOMO, dienophile LUMO 계수가 각각 비슷하고, diene, dienophile의 FMO 계수가 각각 서로 정반대로 분극됨으로서 2 中心방법이 맞지않고 있음을 알 수 있었다. 그러나 촉매하에서는 diene HOMO-dienophile LUMO 상호작용이 상당히 증가되어 모든방법이 잘맞는 배향성을 주고있음을 알 수 있었다. 피페리렌과 2, 6-dimethyl-1, 4-

benzoquinone의 반응에서는 이미 언급한 바와 같이 diene의 HOMO, dienophile의 LUMO 계수가 각각 비슷하기 때문에 2 차례도상호작용¹⁸⁾이 1 차례도상호작용보다 배향성결정에 더 중요하며 4 방법에 의한 계산결과는 실험에 의한 배향성과 일치하지 않았으나 산촉매하에서는 dienophile의 알켄골격이 活性화되고 카르보닐탄소의 계수크기가 촉매가 없는 경우와는 반대로 분극되기 때문에 2 中心방법이외의 모든방법에서 잘맞고 있음을 알 수 있었다. Table 9에서는 1-phenyl butadiene과 아크릴산메틸의 반응, 1-phenyl butadiene과 아크릴렌의 반응들은 4 中心, 2 中心 방법이 맞지않았지만 Herndon, Anh의 방법은 잘맞는 배향성을 주었다. 또한 1-cyano-butadiene과 아크릴산메틸의 반응은 4 방법 모두가 실험에 의한 배향성과 일치하지 않았음을 보여주었다. 그러나 Epiotis³는 유사한 電子的特性을 가진 치환기로 치환된 diene과 dienophile의 반응할 경우 半極性 고리化반응이 일어나 協同에 카니즘(concerted mechanism) 보다는 段階의 메카니즘(stepwise mechanism)에 의해서 中間體二價라디칼(intermediate biradical)의 相對的 安定

性을 고려해주면 *ortho* 配向體를 주게되어 실험과 일치하는 配向性을 얻을 수 있었다는 보고가 있었다. 2-Cyanobutadiene 과 아크릴산메틸과의 반응에서는 2-cyanobutadiene 의 계수分布가 2-chloro, 2-methyl butadiene 과 비슷하여 *meta* 配向體를 주고 있으나 촉매하에서는 오히려 *meta* 配向性이 감소되었다는 실험적인 연구가 있었다^{6b}. 본 연구에서 CNDO/2 방법에 의한 배향성은 촉매가 없는 경우에는 4 방법 모두 잘맞고 있었으나 촉매존재하에서는 맞지않는 配向性을 주게되어 Alston의 연구^{1d}와 일치하고 있음을 확인하였으며, CNDO/2 계산으로 얻은 파동함수로는 배향성을 결정할 수 없었다. 이소프렌과 2, 6-di-

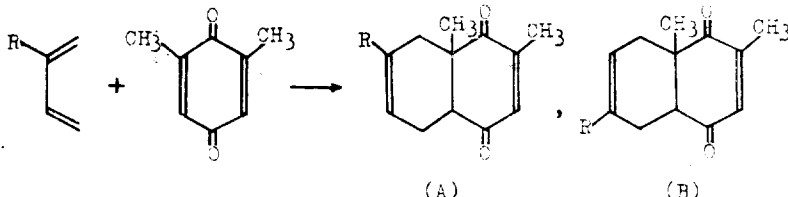
methyl-1, 4-benzoquinone 의 반응은 Table 10에서 보는 바와 같이 Herndon, Anh의 방법은 잘맞고 있으나 4 center, 2 center 방법은 맞지않고 있음을 보여주지만 촉매가 개입되는 반응에서는 모든 방법이 잘맞는 배향성을 보여주고 있음을 알 수 있었다. 上의 모든 반응에 대해서 실험으로부터 얻은 배향성과 4 방법에 의한 배향성을 비교하면 Table 11과 같다. Diene의 말단계수들에 큰 相異함을 보이는 반응에서는 4 방법 모두가 잘맞는 배향성을 주고 있었으나, 2 차체도상호작용은 맞지않고 있음을 확인할 수 있었고, 결국 이들 반응에서는 1 차체도상호작용이 2 차체도상호작용보다 배향성의 결정에 더욱 중요한 역할을 하고 있

Table 9. Reactions of monosubstituted diene with monosubstituted dienophiles.



R ₁	R ₂	R ₃	Uncatalyzed reaction						Catalyzed reaction						Ref.	
			4-Frontier orbitals		2-Frontier orbitals		SOI	Exp.	4-Frontier orbitals		2-Frontier orbitals		SOI	Exp.		
			4-C	2-C	Hern-don	Anh			4-C	2-C	Hern-don	Anh				
C ₆ H ₆	H	COOCH ₃	B	B	A	A	A	A	A	B	A	A	A	A	19	
C ₆ H ₆	H	CHO	B	B	A	A	A	A	A	B	A	A	A	A	11	
CN	H	COOCH ₃	B	B	B	B	A	A	B	B	B	B	A	A	20	
H	CN	COOCH ₃	B	B	B	B	A	B							14	

Table 10. Reaction of C-2-monosubstituted diene with 2, 6-dimethyl 1, 4-benzoquinone.



R	Uncatalyzed reaction						Catalyzed reaction						Ref.	
	4-Frontier orbitals		2-Frontier orbitals		SOI	Exp.	4-Frontier orbitals		2-Frontier orbitals		SOI	Exp.		
	4-C	2-C	Hern-don	Anh			4-C	2-C	Hern-don	Anh				
CH ₃	B	B	A	A	B	B	A	A	A	A	B	A	16	

Table 11. Comparisons of orientation between experiments and theoretical methods in various reactions.

Diene	Dienophile	Uncatalyzed reaction					Catalyzed reaction				
		4-C	2-C	Herndon	Anh	SOI	4-C	2-C	Herndon	Anh	SOI
Isoprene	Methyl acrylate	○	○	○	○	×	○	○	○	○	×
Isoprene	Acrolein	○	○	○	○	×	○	○	○	○	×
2-Phenyl butadiene	Methyl acrylate	○	○	○	○	×	○	○	○	○	×
2-Chloro butadiene	Methyl acrylate	○	○	○	○	×	○	○	○	○	×
Piperylene	Methyl acrylate	×	×	○	○	○	○	○	○	○	○
Piperylene	trans-Methyl crotonate	○	×	○	○	○	○	×	○	○	○
Piperylene	trans-4-Oxobutenoate	○	×	○	○	○	○	○	○	○	○
Piperylene	trans-2-Pentene-4-one-1-oic acid methyl ester	○	×	○	○	○	○	○	○	○	○
1-Methoxy butadiene	Acrolein	○	○	○	○	○	○	○	○	○	○
1-Phenyl butadiene	Methyl acrylate	×	×	○	○	○	○	×	○	○	○
1-Phenyl butadiene	Acrolein	×	×	○	○	○	○	×	○	○	○
1-Cyano butadiene	Methyl acrylate	×	×	×	×	○	×	×	×	×	○
2-Cyano butadiene	Methyl acrylate	○	○	○	○	×					
Piperylene	2, 6-Dimethyl 1, 4-benzoquinone	×	×	×	×	○	○	×	○	○	○
Isoprene	2, 6-Dimethyl 1, 4-benzoquinone	○	○	×	×	○	○	○	○	○	×

었음을 알 수 있었으나, 반면에 diene의 말단계 수가 유사한 크기를 가진 경우에는 Herdon, Anh의 방법이 잘맞고 있었으며, 1차체도의 계수 분포가 거의 비슷한 diene 및 dienophile 간의 반응에서는 2차체도상호작용이 1차체도상호작용보다 배향성의 결정에 더 중요한 역할을 하고 있음을 알 수 있었다. 이상의 결과를 요약하면 다음과 같다.

(1) 電子豊富 diene 과 電子不足 dienophile의 반응이 4 中心메카니즘(4-center mechanism)으로 진행될지라도 에너지分離가 가장 작은 FMO, 즉 diene의 HOMO, dienophile LUMO만을 고려한 Herndon, Anh의 방법이 좋은 배향성을 주었다.

(2) 觸媒下에서는 dienophile이 错物을 형성하여 FMO의 軌道에너지는 낮추어주고, 알켄骨格(alkene moiety)을 活性화시켜, 계수分極이

증가됨으로서 正常電子要求(normal electron demand) 및 中性電子要求(neutral electron demand) 반응들이 촉매하에서 모두 正常電子要求반응의 메카니즘을 갖게됨을 알 수 있었다.

(3) 1 차체도상호작용뿐만 아니라 2 차상호작용도 촉매에 의해 증가됨으로 Diels-Alder 반응의 배향성결정에 중요한 역할을 했으며, 때로는 1 차체도상호작용보다 2 차체도상호작용이 오히려 더 중요한 역할을 했음을 확인하였다.

(4) 電子不足 diene 과 dienophile 간의 반응은 CNDO/2 파동함수로부터 배향성을 결정할 수 없었다.

(5) 2 개의 電子吸引치환기로 치환된 dienophile은 계수 및 에너지에 加成效果(additive effect)를 주었고 에틸렌에 제 1 전자흡인치환기인 메틸에스텔과 제 2 전자흡인치환기인 포르밀, 메틸케톤치환기가 치환된 경우에서는 포르밀 및

메틸케톤기가 酸 촉매와 錯物을 형성할 때 카르보닐탄소의 계수가 매우 증가되어 非結合性인 2차 궤도상호작용을 형성하여 배향성의 결정에 主導的 역할을 하였다.

REFERENCES

1. (a) P. V. Alston, R. M. Ottenbrite and D. D. Shillady, *J. Org. Chem.*, **38**, 4075 (1973). (b) P. V. Alston, R. M. Ottenbrite, *ibid.*, **39**, 1584 (1974). (c) P. V. Alston, D. D. Shillady, *ibid.*, **39**, 3402 (1974). (d) P. V. Alston, R. M. Ottenbrite, *J. Org. Chem.*, **40**, 1111 (1975).
2. R. Sustmann, *Tetrahedron Lett.*, 2721 (1971).
3. N. D. Epotis, *J. Amer. Chem. Soc.*, **95**, 5624 (1973).
4. N. T. Anh and J. Seyden-Penne, *Tetrahedron*, **29**, 3259 (1973).
5. W. C. Herndon, *Chem. Rev.*, **72**, 157 (1972).
6. (a) K. N. Houk, *J. Amer. Chem. Soc.*, **95**, 40929 (1973). (b) K. N. Houk, *ibid.*, **95**, 404 (1973).
7. C. Minot and N. T. Anh, *Tetrahedron*, **33**, 533 (1977).
8. M. Kakushima, J. Espinosa and Z. Valenta, *Can. J. Chem.*, **54**, 3304 (1976).
9. K. L. Mok and M. J. Nye, *J. Chem. Soc. Perkin*, **1**, 1810 (1975).
10. L. E. Sutton, "Interatomic Distances", Spec. Publ., No. 18, The Chem. Soc., London, 1975.
11. I. Fleming, "Frontier Orbitals and Organic Chemical Reactions" John Wiley & Sons, London, 1976.
12. J. Feuer, W. C. Herndon and L. H. Hall, *Tetrahedron*, **24**, 2575 (1968).
13. R. Sustmann, *Tetrahedron Lett.*, 2717 (1971).
14. T. Inukai and T. Kojima, *J. Org. Chem.*, **36**, 924, (1971).
15. E. F. Lutz and G. M. Bailey, *J. Amer. Chem. Soc.*, **86**, 3899 (1964).
16. Z. Stojanac, R. A. Dickinson, N. Stojanac, R. J. Woznow and Z. Valenta, *Can. J. Chem.*, **53**, 616 (1975).
17. I. Lee, *Progress in Chemistry and Chemical Industry*, **17**, 383 (1977).
18. K. N. Houk, L. N. Domelsmith, R. W. Strozier and R. Y. Patterson, *J. Amer. Chem. Soc.*, **100**, 6531 (1978).
19. J. Sauer, *Angew. Chem. Intern. Ed.*, **6**, 16 (1967).
20. H. R. Snyder and G. I. Poos, *J. Amer. Chem. Soc.*, **72**, 4104 (1950).